

—□ 技術解說 □—

誘導機 高速驅動 方式

成世鎮

(忠南大工教大助教授)

■ 차례 ■

- 1. 序論
- 2. Dual-inverter에 의한 驅動方式
- 3. 高周波 Cycloconverter에 의한 驅動方式

- 4. 끝맺음
참고문헌

① 序論

交流電動機의 可變速驅動 system 은 단지 直流電動機의 代替로서 뿐만 아니라, 지금까지 그런 대로 一定速度運轉을 해 왔던 많은 產業, 公共事業用의 電動機로서도 사용되게 되었으며, 그 應用分野가 점점 넓어지고 보편화되어 가고 있다. 이는 그동안 電力半導體素子 定格의 향상과 Custom IC, microprocessor 등 microelectronics 的 發達과 新制御理論의 適用에 의해 반도체 전력변환장치의 신뢰성, 세어성이 높아졌고, cost down이 부단히 이루어진 결과에 힘입은 바 크다 하겠다.

交流可變速驅動 system 은 電動機에 따라 여러가지 방법이 있으나 그 중에서도 농형유도전동기는 回轉子의 構造가 간단하고 튼튼하여 타전동기에 비해 高速運轉에 적합하다. 그래서 高速運轉을 필요로 하는 원심분리기, 항공기 전원용 발전기 Turbo엔진을 탑재한 자동차의 전원용은 물론 장래에는 高速運轉을 함으로서 에너지 저장밀도를 높일 수 있는 Fly-wheel energy storage system 의 Fly - wheel驅動用으로서의 應用이 기대된다. 또한 지금까지만 해도 高速驅動이 일 반적이지 않았던 Blower, Fan 같은 것은 高速驅動을 시킴으로서 system size를 소형화시킬 수 있어 space의 세 한을 받는 工場, 고층빌딩, 지하상가 등에서의 응용이 가능하리라 생각된다.

誘導機를 商用電源 周波數인 60 [Hz] 이상의 高周波로 驅動시 키려면 自動轉流型 周波數 變換裝置가 필요하며, 종래의 轉流 turn-off Thyristor를 사용할 경우는 轉流回路가 필요하게 되어 變換裝置가 복잡하게 되고 따라서 비싸지며, 轉流에 따른 손실로 인하여 효율의 저하를 피할 수 없다.

이러한 점은 최근 소자의 定格向上이 현저한 GTO Thyristor 나 Power Transistor 등 自己消弧型 素子에 의해 해결이 기대되고 있으나, 현재까지는 素子容量의 한계, 直並列 接續, 轉流에너지 處理 등 技術的인 문제와 素子의 가격이 비싸다는 경제적인 문제가 해결되어져야만 가능하게 되리라 사료된다.

本 稿에서는 종래의 Thyristor 를 利用한 大容量, 高周波化가 가능한 誘導機驅動方式을 소개하고 그 특성과 문제점에 대하여 검토해 보겠다.

② Dual-inverter에 의한 驅動方式^{1)~3)}**2.1 回路構成**

그림 1은 直流電源에 의한 誘導機 高周波 驅動方式인 소위 Dual-inverter의 主回路이다. 本 方式은 종래의 Dual-converter 回路인 逆並列 接續시킨 Thyristor bridge에 Capacitor bank, 負荷인 誘導機, 그리고 直流電源과 DC link reactor로 구성되어 있다.

즉, Dual-converter에서 交流電源이었던 곳에 Capacitor bank 와 IM이, 直流負荷이었던 곳이 直

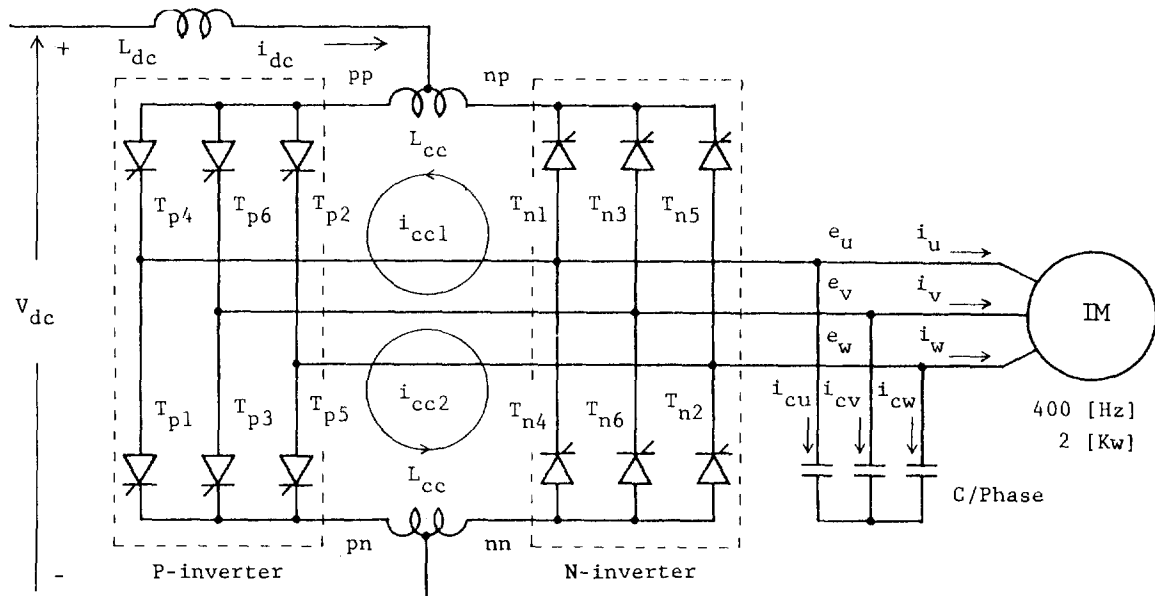


그림 1. Dual-inverter 主回路

流電源으로 바뀌어, converter 가 아닌 inverter로서 기능을 한다.

本回路의 특징은 誘導機側에 Capacitor C가 연결되었다는 점으로서, C에 의해 誘導機는 励磁電流를 供給받아 負荷側에 逆起電力を 確立하고, P-, N-inverter 의 Thyristor 는 이 電壓에 의해 轉流가 이루어진다. 즉 本回路는 소위 負荷轉流方式의 他励變換裝置로서, 종래의 轉流turn-off Thyristor를 使用할 수 있어 大電力화가 가능하다는 것이다. 또한 Capacitor C는 誘導機의 励磁電流 이 외에도 inverter 自體가 발생시키는 無効電力까지 供給하지 않으면 안 되기 때문에 大型으로 되기가 쉽다. 그러나 周波數를 높임으로서 Capacitor 를 小型化할 수 있기 때문에 本 方式은 高周波驅動에 적합하다 할 수 있다.

2.2 動作原理와 條件

그림 2는 P-, N- inverter 의 點弧順序와 交流側電壓을 나타내고 있다. 點弧方式은 종래의 他励Inverter 와 같이 60° 等間隙 點弧方式이며, N-inverter 側을 P -inverter 보다 2β 앞서서 點弧를 해 주고 있다. 이렇게 해 주면 交流側에 이와 同期된 거의 正弦波에 가까운 3相交流電壓이 確立되게 된다.

一般的으로 他励Inverter 에서 Thyristor 를 轉流

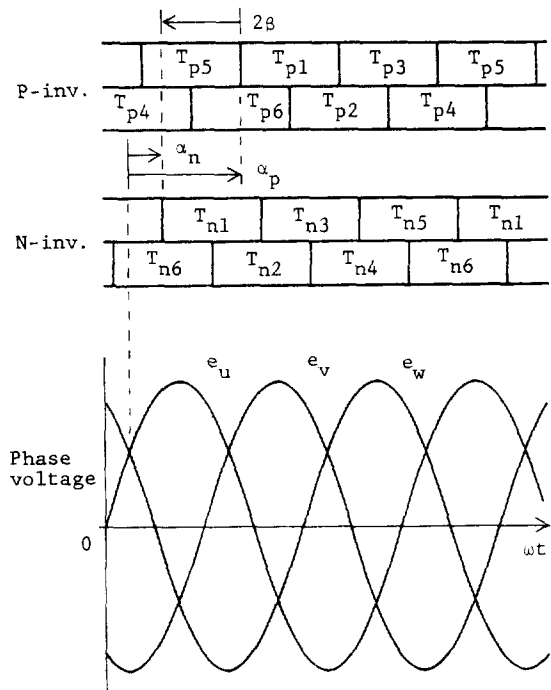


그림 2. 點弧順序 및 負荷電壓

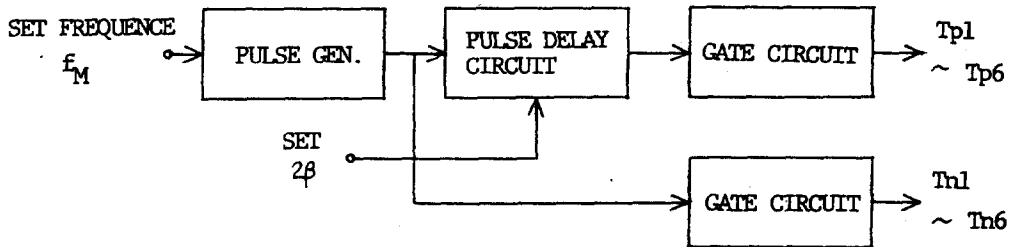


그림 3. 制御回路의 系統圖

시키기 위하여는 點弧 pulse 를 轉流電壓과 同期시켜 주어야 하는데 本 方式에서는 交流電壓과 무관한 임의의 pulse generator 로부터 줄 수가 있어 點弧回路가 간단하게 된다. 그림 3 은 點弧回路의 Block diagram 이다.

本 回路에 있어서 동작상 가장 중요한 역할을 하는 것은 P-, N-inverter 의 gate 制御角差로 인한 β 와 交流側에 있어서의 電力의 均衡條件이다. 이 두가지 條件에 의해 入出力關係가 결정된다.

β 는 入出力 電壓關係를 결정지워 주는 P-, N-inverter 의 制御角 α_p , α_n 과 아울러 inverter 上 下段에 흐르는 循環電流 i_{cc1} , i_{cc2} 의 크기를 결정하는 기본적인 constraint 로서 역할을 하며, 이 基本條件 下에서 交流側의 電力의 均衡條件에 의해 循環電流의 連續・斷續狀態 및 이에 연동되어 α_p , α_n , 이 결정되게 된다. 이러한 유기적인 일연의 관계는 해석적으로 설명할 수 있는데 다음 節에서 다루어 보겠다.

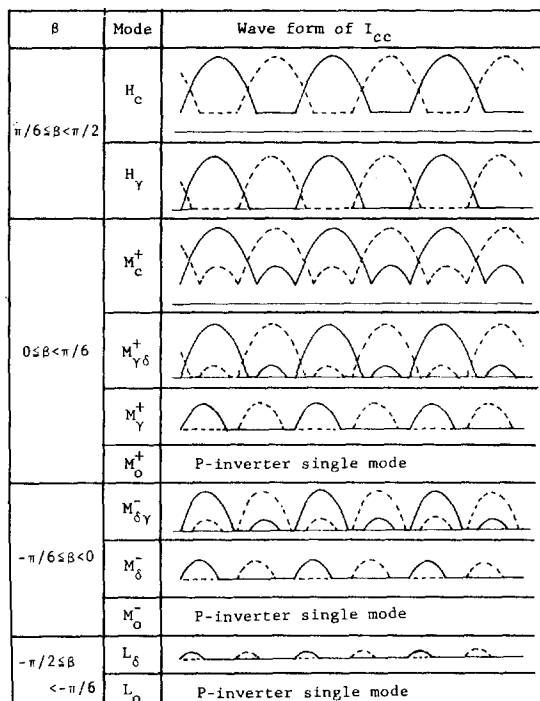
2.3 定常狀態 解析

1) 循環電流에 의한 動作mode 的 分類

P-, N-, 양 inverter 사이로 흐르는 循環電流 i_{cc1} 과 i_{cc2} 는 β 와 負荷狀態에 따라 그 波形과 크기가 달라지는데, 誘導機가 電動機(IM) 動作을 할 경우와 發電機(IG) 動作을 할 경우로 나누어 β 와 循環電流의 狀態에 따라 분류해 놓은 것이 표 1과 표 2이다.

各 mode 는 크게 β 에 의해 H, M⁺, M⁻, L로 나누었고, 또 이 大mode 는 循環電流 狀態에 따라 즉, 連續이나 斷續이거나, 또는 断續을 하더라도 그 狀態에 따라 몇개의 작은 mode 로 각각 분류하였다. IM 動作時와 IG 動作時의 mode가 약간 다르게 되는 이유는 電源電流 i_{dc} 가 IM 動作時는 P-inverter 側으로, IG 動作時는 N-inverter 側으로 흐르기 때문

표 1. IG 동작모드



이다.

2) 循環電流와 交流電壓 位相과의 關係

그림 4는 H mode 경우의 循環電流와 交流電壓과의 關係를 나타낸 것이다. 循環電流가 連續인 Hc mode 에서의 i_{cc} 는 一定直流部分과 ripple部分으로 되어 있는데, 그 크기는 β 에 의해 결정된다. Hc mode 시에 負荷가 변하면 ripple部分은 變化가 없고 I_0 의 크기만 变化한다. 즉 유도기의 負荷가 감소하면 I_0 가 증가하고, 負荷가 증가하면 반대로 감소

표 2. IM 동작모드

| Large Mode & β | Small Mode | Waveforms of CC |
|-----------------------------------|-----------------|------------------------|
| H $\pi/6 \leq \beta < \pi/2$ | H_c | |
| | H_Y | |
| | H_o | N-inverter single mode |
| M^+ $0 \leq \beta < \pi/6$ | M_c^+ | |
| | $M_{Y\delta}^+$ | |
| | M_Y^+ | |

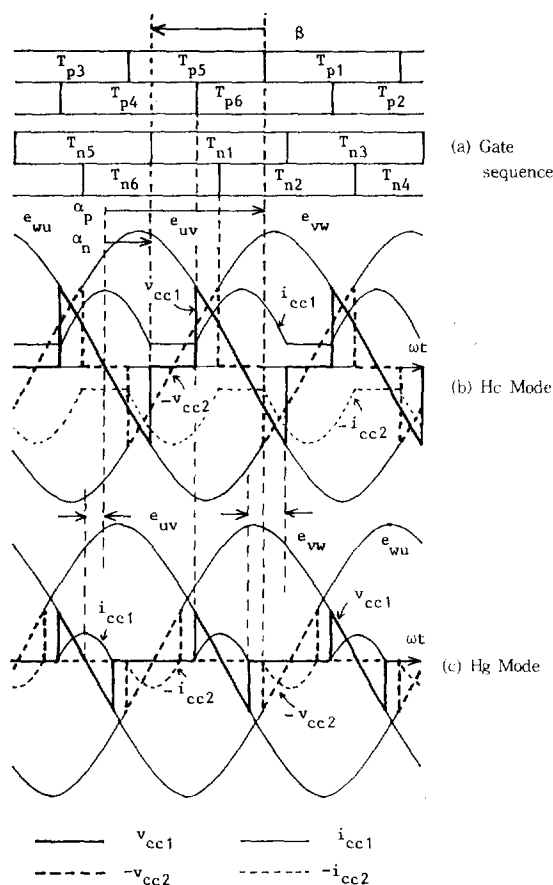


그림 4. H mode 시의 순환전류 및 교류전압관계

한다. 負荷가 계속 증가하면 I_0 가 0에 도달하는 때가 생기는데, 여기서 더負荷가 증가한 경우가 H_r mode인 것이다. H_r mode에서負荷가 증가하면循環電流의 ripple部分이 줄어 들어通流區間이連續일 경우에 비해 작아지는데 이를循環電流斷續區間이라고 하며, 그 크기를 2θ 로 정의하기로 한다.

L_{dc} 가 충분히 크다고 가정하여 i_{dc} 에 의한循環電流에의 영향을 무시하면循環電流의 ripple分이 maximum값을 취할 때交流側線間電壓이0點을 통과한다고 할 수 있으며 이 점을 중심으로 ripple分은 대칭이 된다고 할 수 있다. 그래서循環電流가연속인 상태에서부하가변동하면 I_0 만변하고ripple分은변하지않기때문에交流電壓의位相도변하지않고 일정하게 되며, 断續이되면連續인 경우에비해ripple分의peak點이 θ 만큼앞으로이동하기때문에交流電壓의位相도 θ 만큼앞서게된다. 다른mode에있어서도循環電流과交流電壓의位相과의관계는마찬가지이다.

3) 出力電壓關係

P-, N-inverter兩端의電壓을 V_p , V_n 이라고하면, 이 전압은교류측 전압과各Thyristor의on, off狀態를 나타내는switching function으로표시될수있다.

$$V_p = \bar{S}_p \cdot \bar{e} \quad (1)$$

$$V_n = \bar{S}_n \cdot \bar{e}$$

여기서 $\bar{e} = [e_u, e_v, e_w]^T$ 이고, \bar{S}_p 는 $T_{p1} \sim T_{p6}$ switching상태를나타내는함수 $S_{p1} \sim S_{p6}$ 와循環電流의狀態를나타내는mode function으로나타내어지는함수이고, \bar{S}_n 은 $T_{n1} \sim T_{n6}$ 의switching function인 $S_{n1} \sim S_{n6}$ 와前述한 mode function으로표현되는함수이다.

本 system에서交流側電壓은거의正弦波에가까우므로 다음과같이가정할수있다.

$$e_u = \sqrt{2}(V_m / \sqrt{3}) \sin(\omega_m t) \quad (2)$$

$$e_v = \sqrt{2}(V_m / \sqrt{3}) \sin(\omega_m t - 2\pi/3)$$

$$e_w = \sqrt{2}(V_m / \sqrt{3}) \sin(\omega_m t + 2\pi/3)$$

또한前節에서논한바대로交流電壓의位相과 β , 그리고循環電流斷續區間 θ 와의관계를利用하여 \bar{S}_p , \bar{S}_n 을구할수있는데그基本波成分만을표시하면다음과같다.

$$\bar{S}_p = k (\sin \theta_p \sin(\theta_p - 2\pi/3) \sin(\theta_p + 2\pi/3))$$

$$\bar{S}_n = k (\sin \theta_n \sin(\theta_n - 2\pi/3) \sin(\theta_n + 2\pi/3)) \quad (3)$$

여기서 $k = 2\sqrt{3}/\pi$ 이고, IM動作時는 $\theta_p = W_m t + \pi - \alpha_p$, $\theta_n = \omega_m t + \alpha_p - 2\beta - 2\theta$ 이 되고 IG動作時는 $\theta_p = \omega_m t + \alpha_n$, $\theta_n = W_m t + \pi - \alpha_n - 2\beta + 2\theta$ 가 된다. 그리고 α_p , α_n 은 P-, N-inverter의制御角이다.

(2) (3)式을 (1)式에代入하여 P-, N-inverter兩端의平均電壓을求할수있는데 IM動作時는

$$V_p = \frac{3\sqrt{2}}{\pi} V_m \cos(\pi - \alpha_p) \quad (4)$$

$$V_n = \frac{3\sqrt{2}}{\pi} V_m \cos(\alpha_p - 2\beta - 2\theta)$$

이고 IG動作時는

$$V_p = \frac{3\sqrt{2}}{\pi} V_m \cos(\pi - \alpha_n - 2\beta + 2\theta) \quad (5)$$

$$V_n = \frac{3\sqrt{2}}{\pi} V_m \cos(\alpha_n)$$

으로된다. 그런데

$$V_p = V_n = V_{dc} \quad (6)$$

표 3. IM 모드시 β' , α_p , α_n

| Mode | 2θ | β' | α_p | α_n |
|----------------------|--|--|--|--|
| H_c | 0 | β | $\pi/2 + \beta$ | $\pi/2 - \beta$ |
| H_γ | $\pi - 2\beta - \gamma$ | $\pi/2 - \gamma/2$ | $\pi - \gamma/2$ | $\gamma/2$ |
| M_c^+ | 0 | β | $\pi/2 + \beta$ | $\pi/2 - \beta$ |
| $M_{\gamma\delta}^+$ | $\pi/3 + 2\beta - \gamma$ $\pi/3 - 2\beta - \delta$ | $\pi/6 + 2\beta - \gamma/2$ $\pi/6 - 2\beta - \delta/2$ | $2\pi/3 + 2\beta - \gamma/2$ $2\pi/3 - 2\beta - \delta/2$ | $\pi/3 - 2\beta + \gamma/2$ $\pi/3 + 2\beta + \delta/2$ |
| M_γ^+ | $\pi/3 + 2\beta - \gamma$ | $\pi/6 + 2\beta - \gamma/2$ | $2\pi/3 + 2\beta - \gamma/2$ | $\pi/3 - 2\beta + \gamma/2$ |
| M_o^+ | $*^1$ | | | |
| $M_{\delta\gamma}^-$ | $\pi/3 + 2\beta - \gamma$ $\pi/3 - 2\beta - \delta$ | $\pi/6 + 2\beta - \gamma/2$ $\pi/6 - 2\beta - \delta/2$ | $2\pi/3 + 2\beta - \gamma/2$ $2\pi/3 - 2\beta - \delta/2$ | $\pi/3 - 2\beta + \gamma/2$ $\pi/3 + 2\beta + \delta/2$ |
| M_δ^- | $\pi/3 - 2\beta - \delta$ | $\pi/6 - 2\beta - \delta/2$ | $2\pi/3 - 2\beta - \delta/2$ | $\pi/3 + 2\beta + \delta/2$ |
| M_o^- | $*^1$ | | | |
| L_δ | $\pi + 2\beta - \delta$ | $\pi/2 + 2\beta - \delta/2$ | $\pi + 2\beta - \delta/2$ | $-2\beta + \delta/2$ |
| L_o | $*^1$ | | | |

표 4. IG 모드시 β' , α_p , α_n

| Mode | 2θ | β' | α_p | α_n |
|----------------------|--|--|--|--|
| H_c | 0 | β | $\pi/2 + \beta$ | $\pi/2 - \beta$ |
| H_γ | $\pi - 2\beta - \gamma$ | $\pi/2 - \gamma/2$ | $2\beta + \gamma/2$ | $\pi - 2\beta - \gamma/2$ |
| H_o | $*^1$ | | | |
| M_c^+ | 0 | β | $\pi/2 + \beta$ | $\pi/2 - \beta$ |
| $M_{\gamma\delta}^+$ | $\pi/3 + 2\beta - \gamma$ $\pi/3 - 2\beta - \delta$ | $\pi/2 - \gamma/6$ $\pi/2 - \delta/6$ | $\pi/3 + \gamma/2$ $\pi/3 + \delta/2$ | $2\pi/3 - \gamma/2$ $2\pi/3 - \delta/2$ |
| M_γ^+ | $\pi/3 + 2\beta - \gamma$ | $\pi/2 - \gamma/2$ | $\pi/3 + 2\beta - \gamma/2$ | $\pi/3 - 2\beta + \gamma/2$ |
| M_o^+ | $*^1$ | | | |
| $M_{\delta\gamma}^-$ | $\pi/3 + 2\beta - \gamma$ $\pi/3 - 2\beta - \delta$ | $\pi/2 - \gamma/2$ $\pi/2 - \delta/2$ | $\pi/3 + 2\beta - \gamma/2$ $\pi/3 + 2\beta - \delta/2$ | $\pi/3 - 2\beta + \gamma/2$ $\pi/3 + 2\beta + \delta/2$ |
| M_δ^- | $\pi/3 - 2\beta - \delta$ | $\pi/2 - \delta/2$ | $\pi/3 + 2\beta - \delta/2$ | $\pi/3 + 2\beta + \delta/2$ |
| M_o^- | $*^1$ | | | |
| L_δ | $\pi + 2\beta - \delta$ | $\pi/2 + 2\beta - \delta/2$ | $\pi + 2\beta - \delta/2$ | $-2\beta + \delta/2$ |
| L_o | $*^1$ | | | |

$*^1$ cannot be defined

이어야 하므로 여기서

$$V_m = \frac{\pi V_{dc}}{3\sqrt{2} \beta'} \quad (7)$$

의入出力電壓關係式을얻을수있다. 단 $\beta' = \beta \pm \theta$ 로서 +는IM動作時, -는IG動作時성립한다.

표3과 표4는各mode에있어서循環電流通過區間 r , δ 와 θ 에따른 α_p , α_n , β' 를정리한것이다.

4) 電力의均衡條件

그림5는本system의交流側1相當等價回路이다. 여기서 P_{in} 은直流電源側으로부터交流側에전달되는有効電力이고, Q_{in} 은inverter가 P_{in} 을전달하면서이에비례하여발생시키는遲力率의무효전력이다. Q_{cc} 는循環電流가발생시키는遲力率의無効電力으로各mode別 β , θ 혹은 I_0 에따른값은표5와표6처럼된다. 그리고 Q_c 는Capacitor에의한進力率의無効電力이고 P_m 과 Q_m 은負荷인誘導機의有効電力과無効電力이다.

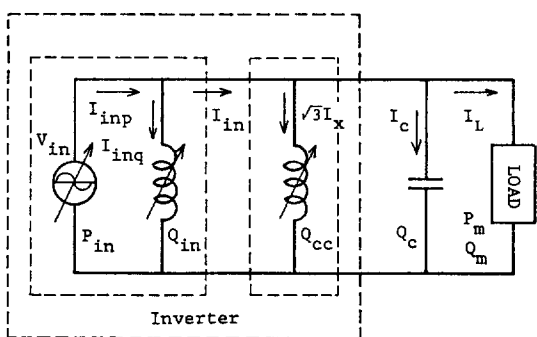


그림 5. 一相當 교류등가회로

표 5. IM 모드시의 Q_{cc} 와 I_{cc}

| Mode | Q_{cc} | I_{cc} |
|------------------|--|---|
| H_c | $Q_o \{ \pi - 2\beta - \sin(2\beta) \} + V_q I_o \cos \beta$ | $I_q \{ \cos \beta - (\pi/2 - \beta) \sin \beta \} + I_o$ |
| H_Y | $Q_o (\gamma - \sin \gamma)$ | $I_q \{ \sin(\gamma/2) - \gamma \cos(\gamma/2)/2 \}$ |
| M_c^+ | $Q_o \{ 2\pi/3 - \sqrt{3} \cos(2\beta) \} + V_q I_o \cos \beta$ | $I_q \{ (1 - \pi/2) \sqrt{3} \cos \beta + \beta \sin \beta \} + I_o$ |
| $M_{Y\delta}^+$ | $Q_o \{ 2\gamma - 4\beta - \sin \gamma - \sin(\gamma - 4\beta) \}$ | $I_q \{ 2 \sin(\gamma/2 - \beta) \cos(\beta) - \gamma \cos(\gamma/2 - \beta) \cos \beta + 2\beta \cos(\gamma/2 - 2\beta) \}$ |
| M_Y^- | $Q_o (\gamma - \sin \gamma)$ | $I_q \{ \sin(\gamma/2) - \gamma \cos(\gamma/2)/2 \}$ |
| $M_{\delta Y}^-$ | $Q_o \{ 2\delta + 4\beta - \sin(\delta + 4\beta) - \sin \delta \}$ | $I_q \{ 2 \sin(\delta/2 + \beta) \cos \beta - (\delta + 4\beta) \cos(\delta/2 + \beta) \cos \beta + 2\beta \cos(\delta/2) \}$ |
| M_δ^- | $Q_o (\delta - \sin \delta)$ | $I_q \{ \sin(\delta/2) - \delta \cos(\delta/2)/2 \}$ |
| I_δ | $Q_o (\delta - \sin \delta)$ | $I_q \{ \sin(\delta/2) - \delta \cos(\delta/2)/2 \}$ |

표 6. IG모드시의 Q_{cc} 와 I_{cc}

| Mode | Q_{cc} | I_{cc} |
|-----------------|--|---|
| H_c | $Q_o \{ \pi - 2\beta - \sin(2\beta) \} + V_q I_o \cos \beta$ | $I_q \{ \cos \beta - (\pi/2 - \beta) \sin \beta \} + I_o$ |
| H_Y | $Q_o (\gamma - \sin \gamma)$ | $I_q \{ \sin(\gamma/2) - \gamma \cos(\gamma/2)/2 \}$ |
| M_c^+ | $Q_o \{ 2\pi/3 - \sqrt{3} \cos(2\beta) \} + V_q I_o \cos \beta$ | $I_q \{ (1 - \pi/2) \sqrt{3} \cos \beta + \beta \sin \beta \} + I_o$ |
| $M_{Y\delta}^+$ | $Q_o \{ 2\gamma - 4\beta - \sin \gamma - \sin(\gamma - 4\beta) \}$ | $I_q \{ 2 \sin(\gamma/2 - \beta) \cos \beta - \gamma \cos(\gamma/2 - \beta) \cos \beta + 2\beta \cos(\gamma/2 - 2\beta) \}$ |
| M_Y^- | $Q_o (\gamma - \sin \gamma)$ | $I_q \{ \sin(\gamma/2) - \gamma \cos(\gamma/2)/2 \}$ |

$$Q_o = \frac{3V_m^2}{\pi \omega_m L_{cc}} \quad V_q = \frac{3\sqrt{2}V_m}{\pi} \quad I_q = \frac{3\sqrt{2}V_m}{\pi \omega_m L_{cc}}$$

電力의 均衡條件이란 交流側에 있어서 有効電力과 無効電力의 합이 각각 Zero 가 되어야 한다는 것이다.

$$\begin{aligned} \Sigma P_K &= 0 \\ \Sigma Q_K &= 0 \end{aligned} \quad (8)$$

D. W. Novotny 等은 상기 條件을 利用 CSI, VSI의 等價回路를 유도한 바 있다.^{4), 5)} 상기 조건을 그림 5의 等價回路에 적용시키면

$$\begin{aligned} P_{in} &= P_m \\ Q_{cc} &= Q_{in} + Q_{cc} + Q_m \end{aligned} \quad (9)$$

이 된다. 여기서

$$Q_c = \omega_m CV_m^2$$

$$P_{in} = \frac{3\sqrt{2}V_m I_{dc}}{\pi} \sin \beta' \quad (10)$$

$$Q_{in} = \frac{3\sqrt{2}V_m I_{dc}}{\pi} \cos \beta' = P_{in} \cot \beta'$$

로 구해지며 (9)式과 (10) 式으로 부터

$$\omega_m CV_m^2 = P_m \cos \beta' + Q_{cc} + Q_m \quad (11)$$

의 관계를 얻을 수 있다.

위의 (11)式에 의해 P_m , Q_m 이 정해지면, I_o 혹은 θ 를 구할 수 있다. 표 7과 표 8은 각 mode別 I_o , θ 를 求하는 條件式을 要約한 것이다.

5) 실험 및 계산결과

그림 6은 위에서 求한 조건들에 의해 誘導機 負荷變數에 따른 交流側 電壓과 이때의 循環電流의 크기를 나타내고 있다.

표 7. IM 모드시 전력균형조건

| Mode | Constraint of power balance | Remark |
|------------------|--|-------------------------------------|
| H_c | $I_o = f_{HC}(\beta) = I_{out} \{ Y_c - Y_{cc} (\pi - 2\beta - \sin 2\beta)/\pi \} - (P_m + Q_m \tan \beta)/2V_{dc}$ | $\theta = \pi/2 - \beta$ |
| H_Y | $f_{HY}(\gamma) = V_o \{ Y_c - Y_{cc} (\gamma - \sin \gamma)/\pi \} - \sin \gamma (P_m + Q_m \cot(\gamma/2))/2 = 0$ | $-\gamma/2$ |
| M_c^+ | $I_o = f_{MC}(\beta) = I_{out} \{ Y_c - Y_{cc} (2\pi/3 - \sqrt{3} \cos 2\beta)/\pi \} - (P_m + Q_m \tan \beta)/2V_{dc}$ | |
| $M_{Y\delta}^+$ | $f_{MY\delta}(\gamma) = V_o \{ Y_c - Y_{cc} [2\gamma - 4\beta - \sin \gamma - \sin(\gamma - 4\beta)]/\pi \} - \sin(\pi/3 + 4\beta - \gamma) (P_m + Q_m \tan(\pi/6 + 2\beta - \gamma/2))/2 = 0$ | $\theta = \pi/6 + \beta - \gamma/2$ |
| M_Y^- | $f_{MY}(\gamma) = V_o \{ Y_c - Y_{cc} (\gamma - \sin \gamma)/\pi \} - \sin(\pi/3 + 4\beta - \gamma) \cdot (P_m + Q_m \tan(\pi/6 + 2\beta - \gamma/2))/2 = 0$ | |
| M_o^+ | $f_o(\alpha_p) = V_o \cdot Y_{cc} - \sin 2\alpha_p \{ -P_m + Q_m \tan \alpha_p \}/2 = 0$ | |
| $M_{\delta Y}^-$ | $f_{\delta Y}(\delta) = V_o \{ Y_c - Y_{cc} [2\delta + 4\beta - \sin(\delta + 4\beta) - \sin \delta]/\pi \} - \sin(\pi/3 - 4\beta - \delta) (P_m + Q_m \tan(\pi/6 - 2\beta - \delta/2))/2 = 0$ | $\theta = \pi/6 - \beta$ |
| M_δ^- | $f_{M\delta}(\delta) = V_o \{ Y_c - Y_{cc} (\delta - \sin \delta)/\pi \} - \sin(\pi/3 - 4\beta - \delta) \cdot (P_m + Q_m \tan(\pi/6 - 2\beta - \delta/2))/2 = 0$ | $-\delta/2$ |
| M_o^- | $f_o(\alpha_p) = V_o \cdot Y_{cc} - \sin 2\alpha_p \{ -P_m + Q_m \tan \alpha_p \}/2 = 0$ | |
| I_δ | $f_{I\delta}(\delta) = V_o \{ Y_c - Y_{cc} (\delta - \sin \delta)/\pi \} - \sin(\pi/3 + 4\beta - \delta) \cdot (P_m + Q_m \tan(\pi/6 + 2\beta - \delta/2))/2 = 0$ | $\theta = \pi/2 + \beta - \delta/2$ |
| I_o | $f_o(\alpha_p) = V_o \cdot Y_{cc} - \sin 2\alpha_p \{ -P_m + Q_m \tan \alpha_p \}/2 = 0$ | |

표 8. IG모드시의 전력균형조건

| Mode | Constraint of Power Balance | Remark |
|-----------------|--|---|
| H_c | $I_o = g_{HC}(\beta) = I_{ou} \{ Y_c - Y_{cc} (\pi - 2\beta - \sin 2\beta) / \pi \} - (P_m + Q_m \tan \beta) / 2V_{dc}$ | $\theta = 0$ |
| H_Y | $g_{HY}(\gamma) = V_o \{ Y_c - Y_{cc} (\gamma - \sin \gamma) / \pi \} + \sin(4\beta + \gamma) \{ P_m + Q_m \tan(2\beta + \gamma/2) \} / 2 = 0$ | $I_o = 0$ $\theta = \pi/2$ $\beta = \gamma/2$ |
| H_O | $g_O(\alpha_N) = V_o Y_{cc} - \sin 2\alpha_N \{ P_m + Q_m \cot \alpha_N \} / 2$ | |
| M_c^+ | $I_o = g_{MC}(\beta) = I_{ou} \{ Y_c - Y_{cc} (2\pi/3 - \sqrt{3}\cos 2\beta) / \pi \} - (P_m + Q_m \tan \beta) / 2V_{dc}$ | $\theta = 0$ |
| $M_{Y\delta}^+$ | $g_{MY\delta}(\gamma) = V_o \{ Y_c - Y_{cc} [2\gamma - 4\beta - \sin(\gamma - 4\beta) - \sin \gamma] / \pi \} - \sin(\gamma - \pi/3) \{ P_m + Q_m \tan(\gamma/2 - \pi/6) \} / 2 = 0$ | $I_o = 0$ $\theta = \pi/6$ $\beta = \gamma/2$ |
| M_Y^+ | $g_{MY}(\gamma) = V_o \{ Y_c - Y_{cc} (\gamma - \sin \gamma) / \pi \} - \sin(\gamma - \pi/3) \{ P_m + Q_m \tan(\gamma/2 - \pi/6) \} / 2 = 0$ | |

$$I_{ou} = \frac{\pi^2 V_{dc}}{18 \sin 2\beta} \quad V_o = \frac{\pi^2 V_{dc}^2}{18} \quad Y_c = \omega_m C \quad Y_{cc} = \frac{3}{\omega_m L_{cc}}$$

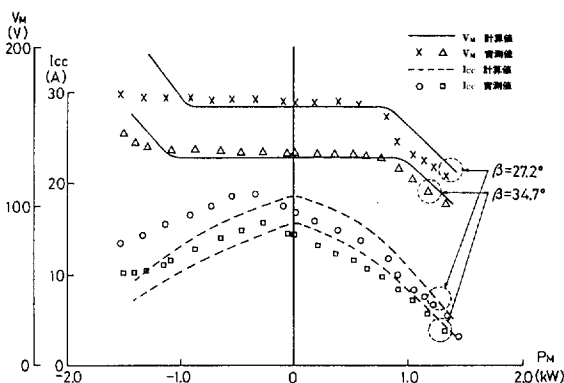


그림 6. 출력 특성

③ 高周波 Cycloconverter에 의한 驅動方式

그림 7은 商用周波数인 60 [Hz] 電源으로 부터 高周波를 얻을 수 있는 Cycloconverter 회로이다. 종래의 Cycloconverter 와 다른 것은 高周波側이 Capacitor C와 負荷인 誘導機가 있고, 負荷이었던 低周波側이 電源과 Filter L_f 로 구성되어 있다는 점이다.

本回路의 動作原理 및 條件은 Dual-inverter의

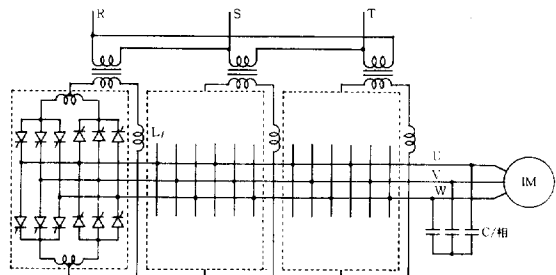


그림 7. 고주파 사이크로 컨버터

경우와 똑 같다. 다만 gate 制御方式이 60° 등간격이 아닌 지금까지의 Cycloconverter 와 같이 餘弦波變調方式을 취하고 있을 뿐이다. 종전의 Cycloconverter 에서는 高周波側이 電源이었기 때문에 電源電壓으로 부터 餘弦波變調 pattern 을 얻을 수 있지만 本回路에서는 高周波側이 負荷이기 때문에 餘弦波變調 pattern 을 임의의 3相 Oscillator 로 부터 얻어 만든다. 그렇게 하면 Oscillator 的 3相電壓과 同期된 3相交流電壓을 얻을 수 있다.

本回路의 특징은 入力電流의 力率을 制御할 수 있다는 점이며, 이러한 성질을 이용하여 IM을 제거하고 無効電力制御에 응용한 예도 있다.⁶⁾

기본적으로 本 system 의 動作 및 解析에 있어서 Dual-inverter 에서의 결과를 그대로 적용할 수 있으나 制御角 α_p , α_n 이 시간의 합수이고, 循環電流斷續으로 인하여 交流電壓의 位相이 oscillator 에서 만든 기준전압에 비해 앞서는 등 동작이 복잡하여 그 적용이 쉽게 이루어지고 있지 않다.

4 끝맺음

이상과 같이 大電力・高周波化가 가능한 誘導機驅動方式을 소개하였다. 앞으로 Dual-inverter에 의한 驅動方式은 Fly-wheel에 의한 전철의 回生에너지 저장에의 응용에 적합하다고 생각되며, 高周波 Cycloconverter 는 入力電流의 力率 및 波形의 制御가 가능함으로, 無効電力制御, Fly-wheel에 의한 에너지 저장, 장해전력 보상용 Active filter 等에 응용이 가능하리라 믿는다.

참고문헌

1) T. Fukao, M. Matsui, S. Seong, Princip-

- les and Fundamental Characteristics of a New Drive Method for Induction Machines using Dual-converter, Trans.IEE of Japan, vol. 102-B, No. 9, 1982.
- 2) S. Seong, T. Fukao, An Analysis and Characteristics of a New High Frequency Drive Induction Motor System, IEEE IAS 83 Annual Meeting Conference Record, Mexico 1983.
- 3) S. Seong, T. Fukao, An Analysis of Generating Mode of Dual-inverter Drive Induction Machine System, IEE International Conference on power Electronics and Variable Speed Drives Conference Record, London, 1984.
- 4) D. W. Novotny, T. L. King, Equivalent Circuit Representation of Current Inverter Drive Synchronous Machines, IEEE Trans. PAS, vol. 100, No. 6, June 1981
- 5) D. W. Novotny, Equivalent Circuit Steady State Analysis of Inverter Drive Electric Machines, U.S.-Japan Seminar, 1981
- 6) T. Fukao, etc., A Novel Static Var Generator using Cycloconverter Operating in Circulating Current Mode, IEEJ International Power Electronics Conference Record, Tokyo, 1983.

謹 賀 新 年

乙丑年 元旦

大韓電氣學會 任職員一同